

鹿児島大学工学部 正員 吉原 遼  
 鹿児島大学工学部 正員 河野 健二  
 名古屋大学工学部 学生員 ○久保田大助

## 1. 本文がまき

海洋の資源・エネルギー・空間の有効利用という面から特に水深100m程度の海洋構造物を考え、波力や地震力を受ける場合の応答特性を調べる。海洋構造物モデルとしては接地式固定型の多柱基礎を有するものも考えられる。海洋構造物に作用する波力は、一般に構造物の種類、形状および地形などによって異なる。本研究では円形断面の柱状構造物モデルを取るために波力として構造物に働く抗力及び慣性力を考へ Morisonの式を適用する。また、地震力は表面地盤での振動特性を考慮した田中見によるパワースペクトルを用いる。

## 2. 波力及び地震力を受ける海洋構造物の振動解析

海洋構造物に作用する波力は一般に非線形であるが、近似的に等価な線形系に変換することができます。本研究では線形化された運動方程式に不規則振動論を適用して応答解析を行なう。波力による外力項は平均値成層の定常ガウス過程であるため、線形系応答もまた同じ性質を持つ確率過程として求められる。波のパワースペクトル密度関数は Pierson-Moskowitz の経験式を用いて表わす。外力はスペクトルの形で表わされため応答解析は周波数領域で行なう。Fig. 1 に示すような構造物モデルの解析はマトリックス法を適用し、質量マトリックスは集中質量系を用いる。線形化を行なった Morison の式を用いると波力を受ける構造物の運動方程式は、

$$[M + C_H] \{ \ddot{u} \} + [C + \hat{C}_D] \{ \dot{u} \} + [K] \{ u \} = [C_x] \{ \ddot{U}_0 \} + [\hat{C}_D] \{ \dot{U}_0 \} \quad (1)$$

と表わされる。ここで  $[M]$ ,  $[C]$ ,  $[K]$  は構造物に関する質量、減衰および剛性マトリックスである。 $\{u\}$  は構造物の変位ベクトルを、 $\{\dot{u}\}$ ,  $\{\ddot{u}\}$  は水流子の加速度、速度ベクトルを表す。また  $[\hat{C}_D]$  は非線形である抗力を線形化するにともなって生じる減衰マトリックスである。さらに  $[C_H]$  は水理学的な付加質量を、 $[C_x]$  は圧力勾配による項をそれぞれ表わす。式(1)において減衰項を無視して固有値解析を行なうと非減衰時のモデルマトリックスが求められる。これを用いて式(1)の変換を行なう。式(1)の減衰マトリックスを近似的に対角化すると、各次振動ごとの運動方程式に分解される。Fig. 1 で示されるような構造物の動的応答は一般に低次の振動モードに支配される。波力を受ける構造物の応答は  $N$  次モードまでを考慮し、

$$S_{ijij}(\omega) = \sum_{r=1}^N \sum_{s=1}^N \bar{\pi}_{jr} \bar{\pi}_{js} H_r(\omega) \bar{H}_s(\omega) S_{prps}(\omega) \quad (2)$$

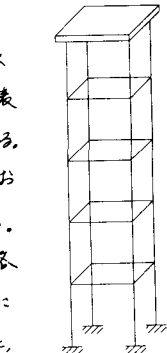


Fig. 1 解析モデル

が得られる。ここに  $\bar{\pi}_{jr}$ ,  $\bar{\pi}_{js}$  はモーダルマトリックス  $[M]$  の要素を、 $H_r(\omega)$  は  $r$  次振動の固有周期マトリックスを表わしている。また  $S_{prps}(\omega)$  は標準化した外力項のパワースペクトルであり、各要素に働く外力項の自己相関関数をアーリエ変換して得られる。この場合、外力項は慣性力項と抗力項に分けて表わされる。各点の応答は式(2)で求めたパワースペクトルの逆変換から得られる自己相間関数より求められる。

次に地震力が構造物の基礎に入力する場合を考える。地震時に最大風速による波浪が起る割合は小さく、構造物に作用する波力による荷重と地震時の荷重との卓越周期が大きく異なることなどを考慮すると、波力と地震力による荷重の相互作用はほとんど無視できるものと考えられる。したがって、地震時における構造物の運動方程式は、

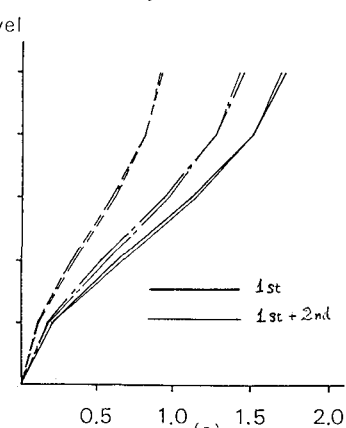


Fig. 2 応答に及ぼす2次振動モードの影響

$$[M + C_M]\{\ddot{u}\} + [C + \tilde{C}_D]\{\dot{u}\} + [K]\{u\} = -[M + C_M]\{\ddot{u}_g\} \quad (3)$$

で表わされる。ここで  $\{\ddot{u}_g\}$  は地震時の構造物基礎に沿う加速度を表す。地震波は  $10 \sim 15 \text{ rad/s}$  のピーコーを有するようなパワースペクトルを用いて表わすことにする。すなはち

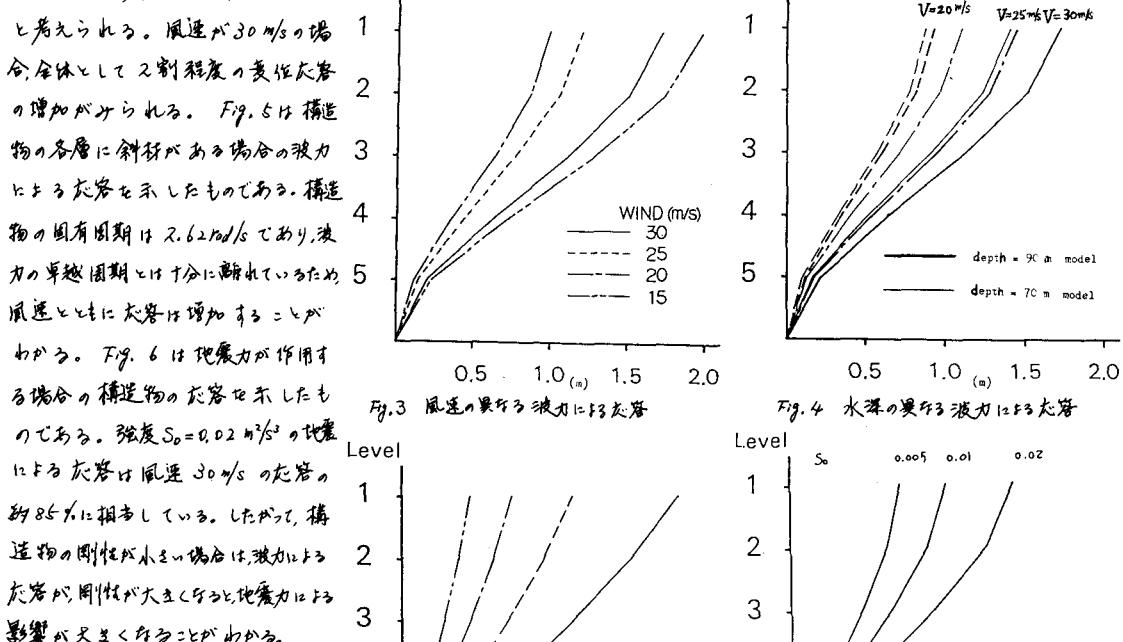
$$S_{\ddot{u} \ddot{u}}(\omega) = \frac{1 + 4\beta_g^2 (\omega/\omega_g)^2}{\{1 - (\omega/\omega_g)^2\}^2 + 4\beta_g^2 (\omega/\omega_g)^2} S_0 \quad (4)$$

ここで  $\omega_g$  は地震波の卓越振動数、 $\beta_g$  は減衰定数、 $S_0$  は基盤における地震波の強度を表す。

Fig. 2 は波力を受ける高さ  $100 \text{ m}$ 、上載荷重  $250 \text{ ton}$  の構造物のたる解分析に 1 次モードと 2 次モードを用いた場合の相違を示したものである。波のスペクトルの振動数領域は構造物の固有振動数に比べて小さく、その卓越振動数は風速  $15 \text{ m/s}$  で  $0.573 \text{ rad/s}$ 、 $30 \text{ m/s}$  で  $0.287 \text{ rad/s}$  である。一方構造物の固有振動数は 1 次が  $0.945 \text{ rad/s}$ 、2 次が  $4.003 \text{ rad/s}$  であり波力の卓越振動数と離れていることがわかる。このため構造物の動的応答は一次の振動のみで十分近似されるものと考えられる。

Fig. 3 は風速が変化する場合の波力による応答を示したものである。風速が  $15 \text{ m/s}$  のとき波力のパワースペクトルの卓越振動数と構造物の固有振動数が比較的接近するため風速  $30 \text{ m/s}$  時の応答より若干大きくなっている。一般に波力による構造物の応答は風速の大きさとともに増加するが、構造物の固有振動数が波力のパワースペクトルの卓越振動数に接近する場合は異なった様子を示している。また風速が小さいとき構造物の応答は波力の中でも慣性項の影響が大きいが、風速の増加とともに抗力項の影響が大きくなることがわかる。

Fig. 4 は水深  $90 \text{ m}$  と  $70 \text{ m}$  の場合の波力による応答を示したものである。水深が  $90 \text{ m}$  の場合、慣性項の影響が大きくなり応答が増加するものと考えられる。風速が  $30 \text{ m/s}$  の場合、全体として 2割程度の変化が示される。Fig. 5 は構造物の各層に斜材がある場合の波力による応答を示したものである。構造物の固有周期は  $2.62 \text{ rad/s}$  であり、波力の卓越周期とは十分に離れているため、風速とともに応答は増加することができる。



3. 結論  
海洋構造物の動的応答は 1 次の卓越振動モードを用いて表わされる。また構造物の固有周期によって波力による応答と地震力による応答が異なることがある。